

ОТРАЖЕНИЕ ПРОБНОГО ИМПУЛЬСА И ТЕРМОЭМИССИЯ ЭЛЕКТРОНОВ ПРИ НАГРЕВЕ ПЛЕНКИ АЛЮМИНИЯ ФЕМТОСЕКУНДНЫМ ИМПУЛЬСОМ ЛАЗЕРНОГО ИЗЛУЧЕНИЯ

*С. Г. Бежанов^{a,b}, А. А. Ионин^a, А. П. Канавин^{a,b}, С. И. Кудряшов^{a,b},
С. В. Макаров^a, Л. В. Селезнев^a, Д. В. Синицын^a, С. А. Урюпин^{a,b*}*

^a *Физический институт им. П. Н. Лебедева Российской академии наук
119991, Москва, Россия*

^b *Национальный исследовательский ядерный университет «МИФИ»
115409, Москва, Россия*

Поступила в редакцию 24 октября 2014 г.

Показано, что установленное экспериментально уменьшение коэффициента отражения пробного фемтосекундного импульса пленкой алюминия, нагреваемой более мощным фемтосекундным импульсом, допускает количественное описание в рамках подхода, учитывающего неоднородное распределение поля лазерного импульса в пленке и эволюцию температур электронов и решетки при поглощении греющего неоднородного поля. Анализ эволюции температуры электронов на облучаемой поверхности пленки, дополненный современными представлениями о влиянии приповерхностного объемного заряда на процесс термоэмиссии, позволил установить соответствие количества эмитированных электронов с данными эксперимента, полученными при нагреве пленки алюминия фемтосекундным импульсом.

DOI: 10.7868/S0044451015060026

1. ВВЕДЕНИЕ

Исследования сильно неравновесных состояний электронов в металлах, которые образуются при взаимодействии с ультракороткими импульсами лазерного излучения, представляют значительный интерес в связи с выявлением предельных возможностей структурирования поверхности — т. е. создания регулярных наноструктур малого размера (см., например, [1–5]). При этом значительное внимание уделялось экспериментальному изучению оптических свойств объемных металлов, в скин-слое которых состояние электронов далеко от равновесного. Обычно такие эксперименты проводились с использованием возбуждающего и пробного импульсов с варьированием времени задержки зондирующего импульса [6–9]. Обнаруженные в большинстве экспериментов особенности поглощения фемтосекундных импульсов получили объяснение в рамках подхода, учитывающего быстрый нагрев электронов в

скин-слое, их последующее охлаждение вследствие выноса тепла из скин-слоя, а также передачу энергии решетке [10–12]. Столь же детальное описание эволюции температуры электронов позволило интерпретировать и установленные экспериментально закономерности термоэмиссии электронов из массивных металлических образцов, нагреваемых при поглощении фемтосекундного импульса [13, 14]. При рассмотрении физических характеристик быстро нагреваемых массивных металлов установлено, что воздействие греющих не аномально коротких импульсов можно описывать используя уравнения поля и уравнения для температур электронов и решетки. Существенно, что в рамках такого подхода можно изучить эволюцию неоднородного профиля температур и описать влияние неоднородности температуры как на оптические, так и на эмиссионные характеристики металла [11, 15]. Такой же подход продуктивен и при описании свойств не слишком тонких металлических пленок [16–18]. Если же толщина пленки сравнима с длиной свободного пробега электронов, то необходимо привлекать кинетическое описание динамики электронов, позволяющее рассмот-

*E-mail: uryupin@sci.lebedev.ru

реть баллистический перенос неравновесных электронов.

В настоящей работе представлены результаты экспериментального изучения коэффициента отражения и термоэмиссии электронов, полученные при нагреве пленки алюминия фемтосекундным импульсом лазерного излучения. Измерения коэффициента отражения пробного импульса пленкой, нагреваемой фемтосекундным импульсом p -поляризованного излучения, выполнены при различных задержках пробного импульса. В случае, когда время задержки не превышает 500–600 фс, данные эксперимента хорошо согласуются с теоретическим описанием, учитывающим неоднородное распределение греющего и пробного полей по толщине пленки, эволюцию неоднородного распределения температуры электронов и температуры решетки. В рамках этого же теоретического подхода описана эволюция температуры электронов на облучаемой поверхности пленки, что позволило получить приемлемое соответствие теории и данных эксперимента по измерению числа электронов эмиссии в условиях нагрева пленки фемтосекундным импульсом, падающим нормально на поверхность пленки и имеющим плотность потока излучения в интервале от 10^{12} Вт/см² до $3 \cdot 10^{12}$ Вт/см².

2. ОПИСАНИЕ ЭКСПЕРИМЕНТА

В эксперименте воздействие на пленку алюминия толщиной 30 нм, размещенную на стеклянной подложке, осуществлялось ультракороткими импульсами излучения титан-сапфирового лазера. Длина волны лазерного излучения — 800 нм, длительность импульса на полувысоте $\tau_{las} \approx 100$ фс, энергия импульса в TEM_{00} -моду — до нескольких миллиджоулей, а частота следования импульсов — 10 Гц. Использование электромеханического затвора и перемещение мишени от импульса к импульсу на трехкоординатной моторизованной микроплатформе (см. рис. 1) позволяло облучать свежие участки пленки. С помощью четвертьволновой пластины и призмы Глана энергия лазерного импульса изменялась плавно от 0.2 мДж до меньших значений. При таких энергиях не происходило деградации волнового фронта импульса вследствие самофокусировки в воздухе, поскольку для импульса длительностью 100 фс мощность составляла не более 2 ГВт, что меньше критической мощности самофокусировки для длины волны используемого излучения, приблизительно равной 3 ГВт [19].

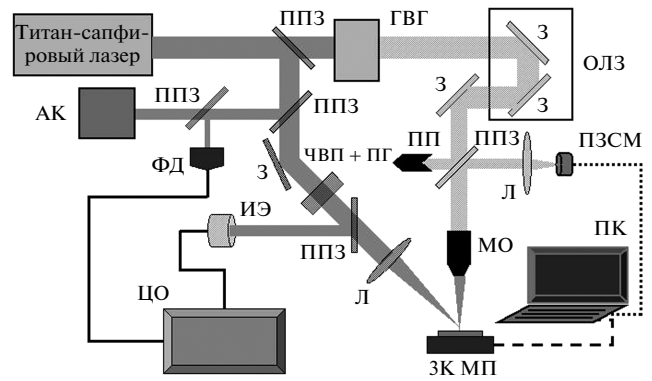


Рис. 1. Схема экспериментальной установки с модулем для оптической микроскопии с временным разрешением. ППЗ — полупрозрачные зеркала, делители пучка, АК — автокоррелятор, ЧВП+ПГ — четвертьволновая пластина и призма Глана для ослабления ультракороткого импульса, ИЭ — измеритель энергии, ГВГ — генератор второй гармоники, ОЛЗ — оптическая линия задержки, ПП — поглотитель, З — зеркала, Л — линзы, ФД — фотодиод, ПЗСМ — ПЗС-матрица, ЗК МП — трехкоординатная моторизованная микроплатформа, ЦО — цифровой осциллограф, ПК — компьютер для сбора данных и управления экспериментом, МО — микрообъектив

При выполнении оптических измерений отражательной способности алюминиевой пленки в схеме оптической микроскопии с временным разрешением греющий ультракороткий импульс инфракрасного p -поляризованного излучения, распространяющегося под углом 45° к поверхности пленки, фокусировался стеклянной линзой с фокусным расстоянием $f = 50$ см в эллиптическое пятно, имеющее радиусы $\varnothing_{1/e,x} \approx 64$ мкм и $\varnothing_{1/e,y} \approx 40$ мкм, с центровкой на оптической оси микрообъектива, используемого для активного зондирования поверхности пробным ультракоротким импульсом (см. рис. 1). Числовая апертура микрообъектива $NA = 0.17$. Для измерений коэффициента отражения использовался в десять раз более слабый пробный ультракороткий импульс длительностью 100 фс, генерируемый в виде второй гармоники в кристалле бората бария толщиной 1.5 мм. Тем самым длина волны пробного излучения составила 400 нм. Время задержки Δt пробного импульса варьировалось в интервале от -0.1 пс до 3 пс. Пики интенсивности греющего и пробного импульсов совпадают при $\Delta t = 0$. Коэффициент отражения пробного импульса пленкой алюминия откалиброван расчетным путем в предположении, что

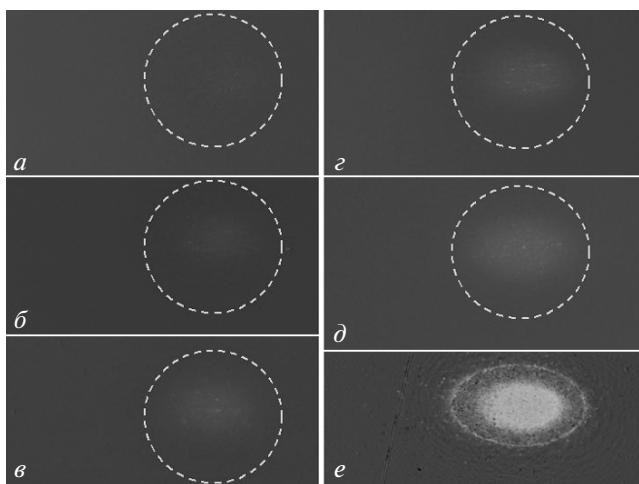


Рис. 2. Снимки поверхности алюминиевой пленки, фотовозбужденной падающим под углом 45° импульсом накачки, для различных задержек пробного импульса: -0.1 (а), 0 (б), 0.1 (в), 0.2 (г), 0.7 (д), ∞ (е) пс. Размеры снимка — 300×500 мкм

коэффициент отражения стандартного алюминиевого зеркала на длине волны 400 нм при нормальном падении приблизительно равен 0.92 [20]. Снимки области поверхности пленки, фотовозбужденной греющим ультракоротким импульсом накачки, в отраженном свете пробного импульса для его различных задержек представлены на рис. 2. Разрез области фотовозбуждения по линии, проходящей через ее центр, дает зависимость коэффициента отражения мишени R от расстояния от центра пятна или, с учетом известных параметров фокусировки греющего импульса, зависимость от плотности энергии F . Типичные зависимости R от F представлены на рис. 3.

При изучении количества эмитированных электронов стационарный медный собирающий электрод с отверстием диаметром около 4 мм и потенциалом $+(0-300)$ В располагался в откачиваемой газовой ячейке на расстоянии 1 мм от поверхности алюминиевой пленки, расположенной на поверхности заземленного электрода. Пленка и электроды расположены на трехкоординатной моторизованной микроплатформе (см. рис. 4) [21]. Падающий нормально ультракороткий импульс накачки через оптическое окно газовой ячейки фокусировался на поверхность пленки на оси апертуры коллектора электронов. При атмосферном давлении эмитированные электроны на наносекундном масштабе времени «прилипали» к молекулам кислорода [22] и да-

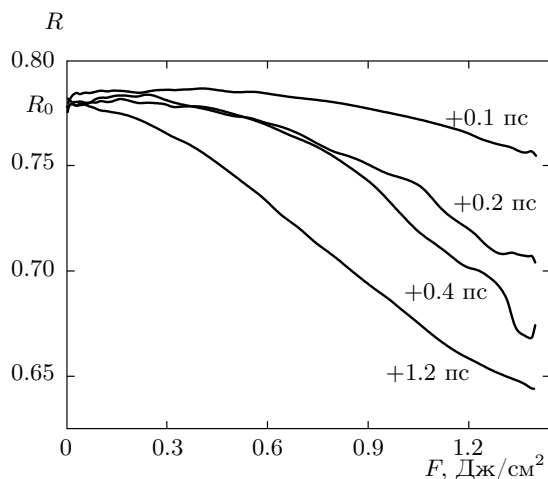


Рис. 3. Экспериментальные зависимости коэффициента отражения R от плотности энергии F для различных значений оптической задержки пробного импульса, R_0 — начальное значение коэффициента отражения пленки алюминия

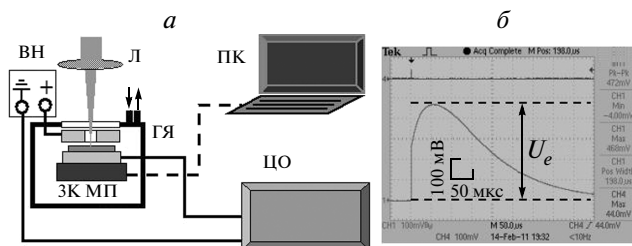


Рис. 4. а) Часть экспериментальной установки с модулем электронно-эмиссионных измерений. ГЯ — газовая ячейка с подвижкой, электродами и мишенью для электронно-эмиссионных измерений, ВН — источник высокого напряжения. Остальные обозначения те же, что на рис. 1. б) Осциллограмма тока изобрания при собирающем напряжении $+150$ В и плотности энергии $F \approx 0.6$ Дж/см 2

лее медленно двигались в приложенном электрическом поле на субмиллисекундных временах, как отрицательные ионы, наводя на коллекторе ток изобрания, регистрируемый с помощью мегаомного входного сопротивления цифрового осциллографа (см. рис. 4). Относительно большое давление воздуха и эффект «прилипания» электронов позволяли создавать для сбора электронов большие экстрагирующие напряженности поля порядка 1 кВ/см, что на два-три порядка выше характерных значений для вакуумных экспериментов. Отметим, что в условиях высокого вакуума экстрагирующее поле обычно не превосходит $1-10$ В/см, что позволяет из-

бежать вторичной электронной эмиссии.

Прежде чем обсуждать экспериментальные зависимости, в разд. 3 и 4 остановимся на необходимых обобщениях теории применительно к описанию свойств греющейся пленки металла.

3. ОТРАЖЕНИЕ, ПРОПУСКАНИЕ И ПОГЛОЩЕНИЕ ИМПУЛЬСА ЛАЗЕРНОГО ИЗЛУЧЕНИЯ

Примем, что на однородную металлическую пленку, занимающую область пространства $0 < z < L$, из вакуума под углом θ к нормали падает лазерный импульс p -поляризованного излучения, магнитное поле которого $\mathbf{B}_i = (0, B_i, 0)$ имеет вид

$$B_i = B_0 \left(t - \frac{\mathbf{k} \cdot \mathbf{r}}{\omega} \right) \times \sin(\omega t - \mathbf{k} \cdot \mathbf{r}), \quad z < 0, \quad (1)$$

где ω — основная частота излучения, $\mathbf{k} = (\omega/c)(\sin\theta, 0, \cos\theta)$, c — скорость света, $B_0(t)$ — слабо изменяющаяся за время порядка $1/\omega$ огибающая импульса. При воздействии на пленку электромагнитного импульса поле проникает в металл, отражается от поверхности $z = 0$ и частично проходит в область $z > L$, занимаемую веществом с диэлектрической проницаемостью ε_s . Проникающие внутрь поля

$$\mathbf{E}_m \equiv \mathbf{E}_m(\mathbf{r}, t) = (E_{mx}(\mathbf{r}, t), 0, E_{mz}(\mathbf{r}, t)),$$

$$\mathbf{B}_m = (0, B_m(\mathbf{r}, t), 0)$$

являются решением уравнений

$$\text{rot } \mathbf{E}_m = -\frac{1}{c} \frac{\partial}{\partial t} \mathbf{B}_m, \quad (2)$$

$$\text{rot } \mathbf{B}_m = \frac{1}{c} \frac{\partial}{\partial t} \mathbf{D}_m + \frac{4\pi}{c} \mathbf{j}, \quad 0 < z < L. \quad (3)$$

Считая плотность потока воздействующего на металл излучения сравнительно малой, для определения плотности тока $\mathbf{j} = \mathbf{j}(\mathbf{r}, t)$ в формуле (3) воспользуемся простейшим материальным уравнением:

$$\frac{\partial}{\partial t} \mathbf{j} = -\nu \mathbf{j} + \frac{ne^2}{m} \mathbf{E}_m, \quad (4)$$

где $\nu = \nu(z, t)$ — частота столкновений электронов, n , e и m — соответственно плотность, заряд и эффективная масса электрона. При написании уравнения (4) принято, что характерный пространственный масштаб изменения поля больше, чем

$v_F/|\omega + i\nu|$, где v_F — скорость Ферми. Для однородной пленки в уравнении (3) связь электрической индукции $\mathbf{D}_m = \mathbf{D}_m(\mathbf{r}, t)$ с полем \mathbf{E}_m дается соотношением

$$\mathbf{D}_m(\mathbf{r}, t) = \int_{-\infty}^t \varepsilon_0(t-t') \mathbf{E}_m(\mathbf{r}, t') dt', \quad (5)$$

где вид функции $\varepsilon_0(t-t')$ зависит от свойств решетки и связанных электронов.

В условиях малости частоты столкновений электронов по сравнению с несущей частотой, когда $\nu(z, t) \ll \omega$, можно пренебречь слагаемым $\nu \mathbf{j}$ в уравнении (4). Тогда для плотности тока имеем

$$\mathbf{j}_0(\mathbf{r}, t) = \frac{\omega_p^2}{4\pi} \int_{-\infty}^t \mathbf{E}_m(\mathbf{r}, t') dt', \quad (6)$$

где $\omega_p = \sqrt{4\pi ne^2/m}$ — плазменная частота. Отметим, что при $\mathbf{j} = 0$ и $\mathbf{D}_m = \mathbf{E}_m$ уравнения (2) и (3) описывают поле в отраженном импульсе, а при $\mathbf{j} = 0$ и $\mathbf{D}_m = \varepsilon_s \mathbf{E}_m$ — в прошедшем. В силу однородности пленки интересуясь воздействием сравнительно слабого излучения, при решении уравнений (2) и (3) с дополнительными соотношениями (5) и (6) можно воспользоваться преобразованием Фурье по координате x . Отвлекаясь от обсуждения эффектов, связанных с включением поля, используем и преобразование Фурье по времени t . После этих преобразований получаем систему уравнений для фурье-образов полей в металле и вакууме. Удовлетворяющее условиям непрерывности тангенциальных компонент электрического и магнитного полей при $z = 0$ и $z = L$ решение такой системы позволяет найти фурье-образы, а затем и сами поля (подробнее см. [17]). В том случае, когда характерное время воздействия импульса $t_p \gg 1/\omega$, а функция $\varepsilon_0(\omega)$ (см. ниже (11)) не имеет особенностей в окрестности частоты ω , при восстановлении полей по их фурье-образам основной вклад в интегралы дают частоты близкие к ω . Принимая во внимание этот факт, для магнитных полей отраженного $\mathbf{B}_r = (0, B_r, 0)$ и прошедшего $\mathbf{B}_t = (0, B_t, 0)$ импульсов приближенно имеем

$$B_r = R(\omega) B_0 \left(t - \frac{\mathbf{k}' \cdot \mathbf{r}}{\omega} \right) \times \sin(\omega t - \mathbf{k}' \cdot \mathbf{r}), \quad z < 0, \quad (7)$$

$$B_t = T(\omega) B_0 \left(t - \frac{\mathbf{k}'' \cdot \mathbf{r}}{\omega} \right) \times \sin(\omega t - \mathbf{k}'' \cdot \mathbf{r}), \quad z > L, \quad (8)$$

где

$$\mathbf{k}' = \frac{\omega}{c}(\sin \theta, 0, -\cos \theta),$$

$$\mathbf{k}'' = \frac{\omega}{c} \left(\sin \theta, 0, \sqrt{\varepsilon_s - \sin^2 \theta} \right),$$

а комплексные коэффициенты отражения $R(\omega)$ и прохождения $T(\omega)$ описываются соотношениями

$$R(\omega) = -1 - \left\{ 2\omega\varepsilon(\omega) \cos \theta \times \right. \\ \left. \times \left[\omega\varepsilon(\omega) \sqrt{\varepsilon_s - \sin^2 \theta} \operatorname{sh}(\kappa L) + i\kappa c \varepsilon_s \operatorname{ch}(\kappa L) \right] \right\} \times \\ \times \left\{ \left[\varepsilon_s \kappa^2 c^2 - \varepsilon^2(\omega) \omega^2 \cos \theta \sqrt{\varepsilon_s - \sin^2 \theta} \right] \operatorname{sh}(\kappa L) - \right. \\ \left. - i\kappa c \omega \varepsilon(\omega) \left(\varepsilon_s \cos \theta + \sqrt{\varepsilon_s - \sin^2 \theta} \right) \operatorname{ch}(\kappa L) \right\}^{-1}, \quad (9)$$

$$T(\omega) = -2\omega\varepsilon(\omega) \varepsilon_s i\kappa c \cos \theta \times \\ \times \exp \left[-i\omega \sqrt{\varepsilon_s - \sin^2 \theta} \frac{L}{c} \right] \times \\ \times \left\{ \left[\varepsilon_s \kappa^2 c^2 - \varepsilon^2(\omega) \omega^2 \cos \theta \sqrt{\varepsilon_s - \sin^2 \theta} \right] \operatorname{sh}(\kappa L) - \right. \\ \left. - i\kappa c \omega \varepsilon(\omega) \left(\varepsilon_s \cos \theta + \sqrt{\varepsilon_s - \sin^2 \theta} \right) \operatorname{ch}(\kappa L) \right\}^{-1}. \quad (10)$$

При написании выражений (9) и (10) использованы обозначения

$$\varepsilon(\omega) \equiv \varepsilon(\omega, \nu = 0) = \varepsilon_0(\omega) - \frac{\omega_p^2}{\omega^2},$$

$$\varepsilon_0(\omega) = \varepsilon_0^*(-\omega) = \int_0^\infty \varepsilon_0(t) \exp(i\omega t) dt, \quad (11)$$

$$\kappa^2 = [\sin^2 \theta - \varepsilon(\omega)] \frac{\omega^2}{c^2}.$$

В свою очередь, для полей внутри пленки имеем

$$\mathbf{B}_m = F(z, \omega) B_0 \left(t - \frac{x}{c} \sin \theta \right) \mathbf{e}_y, \quad (12)$$

$$\mathbf{E}_m = \frac{1}{2i} B_0 \left(t - \frac{x}{c} \sin \theta \right) \exp \left[i\omega \left(t - \frac{x}{c} \sin \theta \right) \right] \times \\ \times \frac{1}{\varepsilon(-\omega)} \left[i\mathbf{e}_x \frac{\partial}{\partial z} F(z, -\omega) \frac{c}{\omega} - \mathbf{e}_z \sin \theta F(z, -\omega) \right] + \\ + \text{с.с.}, \quad (13)$$

где \mathbf{e}_x , \mathbf{e}_y , \mathbf{e}_z — единичные векторы, а функция $F(z, \omega) = F^*(z, -\omega)$ имеет вид

$$F(z, \omega) = 2\omega\varepsilon(\omega) \cos \theta \times \\ \times \left\{ \omega\varepsilon(\omega) \sqrt{\varepsilon_s - \sin^2 \theta} \operatorname{sh}[\kappa(z - L)] - \right. \\ \left. - i\varepsilon_s \kappa c \operatorname{ch}[\kappa(z - L)] \right\} \times \\ \times \left\{ \left[\varepsilon_s \kappa^2 c^2 - \varepsilon^2(\omega) \omega^2 \cos \theta \sqrt{\varepsilon_s - \sin^2 \theta} \right] \operatorname{sh}(\kappa L) - \right. \\ \left. - i\kappa c \omega \varepsilon(\omega) \left(\varepsilon_s \cos \theta + \sqrt{\varepsilon_s - \sin^2 \theta} \right) \operatorname{ch}(\kappa L) \right\}^{-1}. \quad (14)$$

Соотношения (5) и (13) позволяют найти энергию $Q_0(z, t)$, поглощаемую связанными электронами и решеткой в единицу времени в единицу объема. Принимая во внимание неравенство $\omega t_p \gg 1$ и отсутствие особенностей функции $\varepsilon_0(\omega)$ в окрестности частоты ω , после усреднения выражения $(c/4\pi) \mathbf{E}_m \partial \mathbf{D}_m / \partial t$ по интервалу времени от t до $t + 2\pi/\omega$, находим

$$Q_0(z, t) \approx \frac{Im\varepsilon_0(\omega)}{\omega |\varepsilon(\omega)|^2} c I_0 \left(t - \frac{x \sin \theta}{c} \right) \times \\ \times \left[\left| \frac{\partial F(z, \omega)}{\partial z} \right|^2 + \frac{\omega^2 \sin^2 \theta}{c^2} |F(z, \omega)|^2 \right], \quad (15)$$

где $I_0(t) = c B_0^2(t) / 8\pi$ — плотность потока энергии в падающем импульсе.

Наличие малой частоты столкновений электронов, изменяющейся в пространстве и времени из-за нагрева металла при поглощении импульса, приводит согласно (4) к возникновению малой поправки к плотности тока $\mathbf{j}_0(\mathbf{r}, t)$ (6):

$$\delta \mathbf{j}(\mathbf{r}, t) = - \int_{-\infty}^t \nu(z, t') \mathbf{j}_0(\mathbf{r}, t') dt'. \quad (16)$$

Используя соотношения (6), (13) и (16), после усреднения $\mathbf{E}_m(\mathbf{r}, t) \delta \mathbf{j}(\mathbf{r}, t)$ по интервалу времени от t до $t + 2\pi/\omega$ находим джоулево тепло, поглощаемое электронами проводимости в единицу объема в единицу времени:

$$Q(z, t) \approx \frac{c\nu(z, t) \omega_p^2}{\omega^4 |\varepsilon(\omega)|^2} I_0 \left(t - \frac{x \sin \theta}{c} \right) \times \\ \times \left[\left| \frac{\partial F(z, \omega)}{\partial z} \right|^2 + \frac{\omega^2 \sin^2 \theta}{c^2} |F(z, \omega)|^2 \right]. \quad (17)$$

При получении выражения (17) принято, что изменением частоты столкновений $\nu(z, t)$ за время порядка $2\pi/\omega$ можно пренебречь. Кроме того, использованы неравенства $\omega t_p \gg 1$ и $\nu t_p \gg 1$. Последнее из них позволяет не учитывать поправку к $Q(z, t)$, пропорциональную $\partial I_0(t) / \partial t$.

4. МОДЕЛЬ НАГРЕВА ПЛЕНКИ МЕТАЛЛА

При поглощении излучения в металле происходит нагрев электронов и решетки. В основу описания эволюции температур положим уравнения двух-температурной модели [23, 24] для температур электронов $T(z, t)$

$$C_e(z, t) \frac{\partial}{\partial t} T(z, t) = Q(z, t) + \frac{\partial}{\partial z} \left[\lambda(z, t) \frac{\partial}{\partial z} T(z, t) \right] - G(z, t) [T(z, t) - T_{lat}(z, t)] \quad (18)$$

и решетки $T_{lat}(z, t)$

$$C_{lat} \frac{\partial}{\partial t} T_{lat}(z, t) = G(z, t) [T(z, t) - T_{lat}(z, t)], \quad (19)$$

где функция $Q(z, t)$ описывается выражением (17), $C_e(z, t)$ — теплоемкость электронов, $\lambda(z, t)$ — коэффициент теплопроводности, $G(z, t)$ — параметр, описывающий передачу энергии от электронов к решетке, $C_{lat} \approx 3\kappa N_a$ — теплоемкость решетки, κ — постоянная Больцмана, N_a — плотность атомов решетки.

В описанных выше условиях функция $Q(z, t)$ (17) пропорциональна частоте столкновений электронов $\nu(z, t)$. В чистых металлах при $\kappa T(z, t) \ll \epsilon_F$, где ϵ_F — энергия Ферми, и при температурах решетки больших температуры Дебая, но меньших температуры плавления, для $\nu(z, t)$ возможна аппроксимация [17, 25]

$$\nu(z, t) = \nu_{ep} \frac{T_{lat}(z, t)}{T_0} + a \frac{\kappa^2 T(z, t)^2}{\hbar \epsilon_F} \times \left\{ 1 + \left[\frac{\hbar \omega}{2\pi \kappa T(z, t)} \right]^2 \right\}, \quad (20)$$

где ν_{ep} — частота столкновений электронов с фононами при комнатной температуре T_0 , \hbar — постоянная Планка, a — численный коэффициент, величина которого зависит от вида зонной структуры металла. Теплоемкость электронов $C_e(z, t)$ зависит от температуры. В частности, для алюминия при $T(z, t) \lesssim 2$ эВ пригодна аппроксимация [12, 26]

$$C_e(z, t) = C_{Al} T(z, t), \quad (21)$$

где $C_{Al} \approx 9.1 \cdot 10^2$ эрг·см⁻³·К⁻². Для $G(z, t)$, в соответствии с данными работы [26], для алюминия можно использовать зависимость вида [12]

$$G(z, t) = G_{Al} \left\{ 1 - \frac{0.0009}{[10^{-4} T(z, t)]^4 + 0.0030} + 0.0028 [10^{-4} T(z, t)] \right\}, \quad (22)$$

где $G_{Al} = 3.5 \cdot 10^8$ эрг·с⁻¹·К⁻¹·см⁻³. В формулах (21) и (22) температура измеряется в градусах Кельвина. В уравнении (18) коэффициент теплопроводности $\lambda(z, t)$ связан с теплоемкостью соотношением

$$\lambda(z, t) = \frac{v_F^2}{3\nu_\lambda(z, t)} C_e(z, t). \quad (23)$$

Входящая в формулу (23) частота $\nu_\lambda(z, t)$ отличается от $\nu(z, t)$ и имеет вид

$$\nu_\lambda(z, t) = \nu_{ep\lambda} \frac{T_{lat}(z, t)}{T_0} + b \frac{\kappa^2 T^2(z, t)}{\hbar \epsilon_F}, \quad (24)$$

где $\nu_{ep\lambda} \neq \nu_{ep}$ — частота столкновений электронов с фононами при $T_{lat}(z, t) = T_0$, $b \neq a$ — численный коэффициент. Отметим, что частоты столкновений (20), (24) учитывают и процессы переброса.

Уравнения (18) и (19) следует дополнить начальными и граничными условиями. Далее ограничимся рассмотрением воздействия на пленку импульсов с небольшой плотностью потока излучения, когда вклад в тепловой поток, возникающий вследствие термоэмиссии электронов, мал (см., например, [27]) и при написании граничных условий для уравнения (18) им можно пренебречь. В этих условиях для плотности теплового потока на границах пленки приближенно имеем

$$\lambda(z, t) \frac{\partial}{\partial z} T(z, t) \Big|_{z=0} = - \lambda(z, t) \frac{\partial}{\partial z} T(z, t) \Big|_{z=L} \approx 0. \quad (25)$$

Полагая, что до воздействия лазерного импульса температуры электронов и решетки одинаковы и однородны по толщине пленки, для уравнений (18), (19) имеем начальные условия вида

$$T(z, t \rightarrow -\infty) = T_{lat}(z, t \rightarrow -\infty) = T_0. \quad (26)$$

Уравнения (18), (19) с граничными (25) и начальными (26) условиями позволяют описать эволюцию температур электронов и решетки, что необходимо для понимания экспериментальных данных по поглощению излучения и термоэмиссии электронов.

5. ОТРАЖЕНИЕ ПРИБЛИЖЕННОГО ИМПУЛЬСА

В разд. 2 приведены результаты измерения коэффициента отражения слабого пробного импульса, падающего вдоль нормали к поверхности пленки. Из данных эксперимента определялся интегральный коэффициент отражения, величина которого зависит

от времени Δt задержки пробного импульса относительно основного греющего импульса. Таким образом, определялась величина

$$|R(\omega, \Delta t)|^2 = \int_{-\infty}^{\infty} dt |R(\omega, t)|^2 I_p(t - \Delta t) \times \left[\int_{-\infty}^{\infty} dt I_p(t) \right]^{-1}, \quad (27)$$

где $I_p(t)$ — плотность потока излучения в пробном импульсе, $I_p(t) = I_p \exp[-t^2/t_p^2]$, $t_p = 2\sqrt{\ln 2} \tau_p$ — длительность пробного импульса. Входящий в (27) коэффициент отражения в момент времени t в условиях слабого нагрева пленки найдем из соотношения

$$|R(\omega, t)|^2 = 1 - A(\omega, t) - \sqrt{\epsilon_s} |T(\omega)|^2, \quad (28)$$

в котором коэффициент поглощения

$$A(\omega, t) = \frac{1}{I(t)} \int_0^L [Q(z, t) + Q_0(z, t)] \Big|_{\theta=0} dz = \frac{c}{\omega |\epsilon(\omega)|^2} \int_0^L \left[\text{Im} \epsilon_0(\omega) + \frac{\nu(z, t)}{\omega^3} \omega_p^2 \right] \times \left| \frac{\partial F(z, \omega)}{\partial z} \right|^2 dz, \quad (29)$$

и коэффициент прохождения $|T(\omega)|^2$ (10) отвечают значению угла падения $\theta = 0$. Согласно формулам (10) и (27)–(29) от Δt зависит только вклад в $|R(\omega, \Delta t)|^2$, пропорциональный частоте столкновений электронов $\nu(z, t)$, которая изменяется в процессе нагрева электронов и решетки при поглощении импульса накачки. Поэтому для интерпретации установленной экспериментально зависимости $|R(\omega, \Delta t)|^2$ от Δt необходимо решить уравнения (18), (19), рассчитать $\nu(z, t)$, а затем и изменение $|R(\omega, \Delta t)|^2$, обусловленное нагревом пленки. В формулах (28), (29) есть два вклада, которые не зависят от $\nu(z, t)$. Первый вклад пропорционален $\text{Im} \epsilon_0(\omega)$ и описывает поглощение пробного импульса связанными электронами и решеткой. Для пленки алюминия толщиной $L = 30$ нм на основной частоте пробного импульса $\omega = 4.7 \cdot 10^{15} \text{ с}^{-1}$ этот вклад составляет приблизительно 0.07. Такой результат дает первое слагаемое в формуле (29), если учесть, что $\epsilon_s \approx 1.5$, плазменная частота алюминия $\omega_p = 1.91 \cdot 10^{16} \text{ с}^{-1}$ [28] и $\epsilon_0(\omega) \approx 3.77 + 1.73i$ [28, 29] при $\omega = 4.7 \cdot 10^{15} \text{ с}^{-1}$. Второй вклад обусловлен частичным пропусканием

излучения пленкой. Согласно формуле (10) его величина на частоте пробного импульса составляет $\sqrt{\epsilon_s} |T(\omega)|^2 \approx 0.03$.

Теперь о вкладе в поглощение из-за столкновений электронов проводимости. При комнатной температуре в рассматриваемом диапазоне частот для ν (20) возможна аппроксимация

$$\nu \approx \nu_{ep} + a \hbar \omega^2 / 4\pi^2 \epsilon_F.$$

В алюминии $\nu_{ep} = 9.4 \cdot 10^{13} \text{ с}^{-1}$, $\epsilon_F = 11.7 \text{ эВ}$ [28]. Полагая $a \approx 1.5$, имеем $\nu \approx 1.1 \cdot 10^{14} \text{ с}^{-1}$. Эта оценка не учитывает столкновения электронов с границами пленки. Если пленка шероховатая, то эффективная частота столкновений электронов проводимости возрастает, но не более чем на $v_F/L \approx 0.7 \cdot 10^{14} \text{ с}^{-1}$. Учет столкновений с границами увеличивает ν до $1.8 \cdot 10^{14} \text{ с}^{-1}$. Для такой частоты, согласно (29), вклад в $A(t)$ или $|R(\omega, t)|^2$ составляет примерно 0.02. В обсуждаемых условиях сумма трех упомянутых вкладов приблизительно равна 0.12, что примерно на 0.1 меньше, чем отличие $|R(\omega, t)|^2$ от единицы, измеренное экспериментально при малой плотности энергии в греющем импульсе (см. рис. 3), когда нет нагрева пленки. Обычно полагают, что указанное отличие является следствием зернистой структуры пленки алюминия. В связи с этим при обработке данных эксперимента не рассматривались абсолютные значения $|R(\omega, \Delta t)|^2$, а изучались лишь изменения $|R(\omega, \Delta t)|^2$ в предположении, что причиной этих изменений является нагрев пленки. При численном решении уравнений (18), (19) считалось, что

$$I_0(t) = I_0 \exp[-4(\ln 2)t^2/\tau^2]$$

и использовались следующие значения для параметров греющего импульса: $\tau = 100$ фс, $\omega = 2.35 \cdot 10^{15} \text{ с}^{-1}$, $\theta = \pi/4$. Также использовались приведенные выше функции $C_e(z, t)$ (21), $G(z, t)$ (22) и значения ν_{ep} , ϵ_F , ω_p , L и считалось, что $\nu_{ep\lambda} = 1.62 \cdot 10^{14} \text{ с}^{-1}$ [30], $v_F = 2.05 \cdot 10^8 \text{ см/с}$, $T_0 = 300 \text{ К}$, $N_a = 6 \cdot 10^{22} \text{ см}^{-3}$. Параметр b (см. (24)) принят равным 2 [31]. Однако в рамках достигнутой точности измерений выявить влияние небольших изменений b на $|R(\omega, \Delta t)|^2$ нельзя. Напротив, расчеты изменений $|R(\omega, \Delta t)|^2$ чувствительны к величине параметра a . Именно посредством изменения a достигалось основное согласие теоретических расчетов и экспериментальных данных.

На рис. 5 представлены результаты численного решения уравнений для температур, полученные при двух значениях плотности потока энергии: $I_0 = 7.5 \cdot 10^{12} \text{ Вт/см}^2$, 10^{13} Вт/см^2 . Температура электронов сначала возрастает, достигает максимума, а

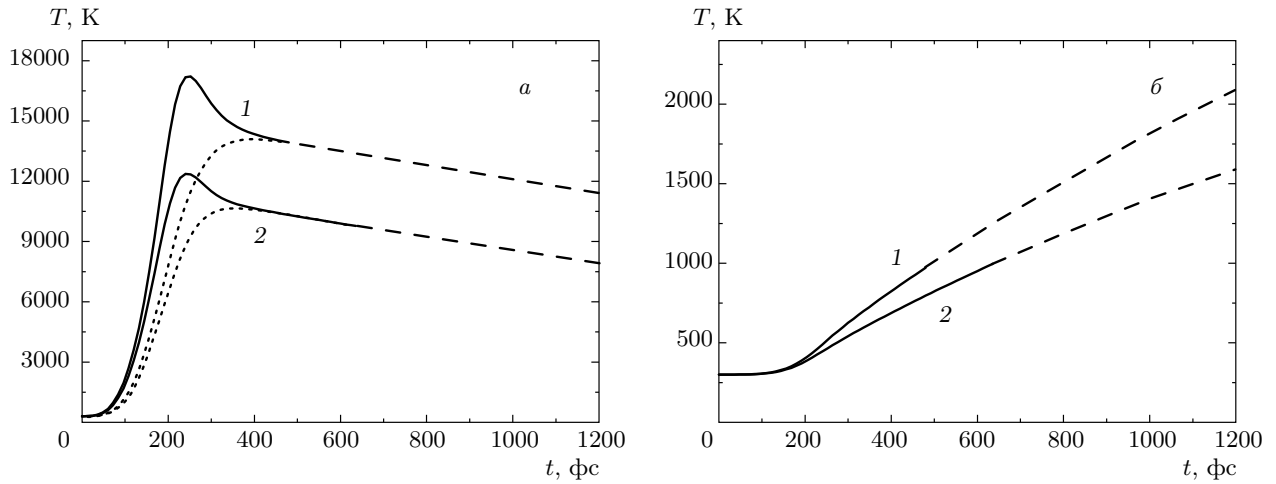


Рис. 5. а) Изменение во времени температуры электронов на передней (сплошная кривая) и задней (пунктирная кривая) поверхностях пленки при поглощении импульса с плотностью потока $I_0 = 10^{13}$ Вт/см² (кривые 1) и $I_0 = 7.5 \cdot 10^{12}$ Вт/см² (кривые 2). Штрихами представлены участки кривых, где разрушается решетка. б) Изменение во времени температуры решетки на передней поверхности пленки. Обозначения те же, что и на рис. 5а

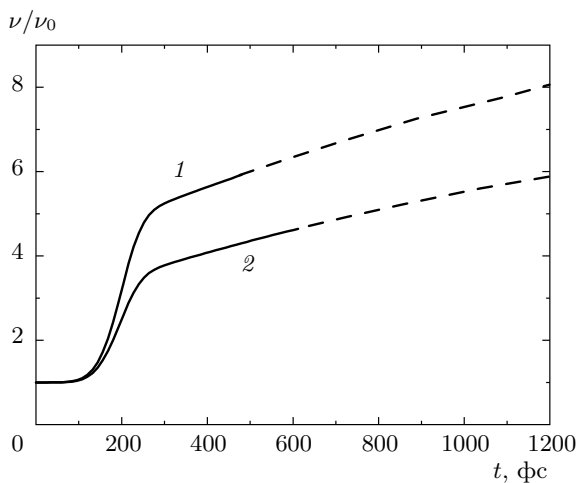


Рис. 6. Зависимости от времени средней по скин-слою частоты столкновений электронов: $I_0 = 10^{13}$ Вт/см² (1), $7.5 \cdot 10^{12}$ Вт/см² (2)

затем монотонно убывает. На временах, меньших 400–500 фс, температура на освещенной поверхности пленки больше, чем на ее темной поверхности. На больших временах из-за влияния теплопроводности происходит выравнивание температуры по толщине пленки, и сплошные и пунктирные кривые на рис. 5а сливаются. Штрихами на рис. 5 обозначены участки кривых, где температура решетки на освещенной поверхности выше температуры плавления алюминия, равной 933 К.

Эволюция температур во времени сопровождается изменением частоты столкновений электронов (20). При этом даже в те моменты времени, когда температура электронов убывает, частота столкновений возрастает из-за эффективного нагрева решетки. Монотонное увеличение частоты столкновений со временем иллюстрирует рис. 6.

Экспериментальные данные измерения коэффициента отражения и результаты расчетов $|R(\omega, \Delta t)|^2$ приведены на рис. 7. Наилучшее согласие теории с экспериментом достигнуто при $a = 1.5$, что на 20 % меньше значения a , установленного ранее в [12] при обработке эксперимента [32], и близко к оценкам работ [31, 33]. Относительно резкое изменение $|R(\omega, \Delta t)|^2$ в диапазоне $100 < \Delta t < 200$ фс связано с более быстрым нагревом электронов. Дальнейшее медленное изменение $|R(\omega, \Delta t)|^2$ происходит в условиях плавного увеличения частоты столкновений электронов (см. рис. 6). Расхождение между данными эксперимента и результатами расчетов на больших временах связано, по-видимому, с плавлением алюминия.

6. ТЕРМОЭМИССИЯ

Известно, что при относительно большой плотности потока излучения в фемтосекундном лазерном импульсе [24] термоэмиссия является основным механизмом выхода электронов из металла. При рассмотрении термоэмиссии часто используют закон

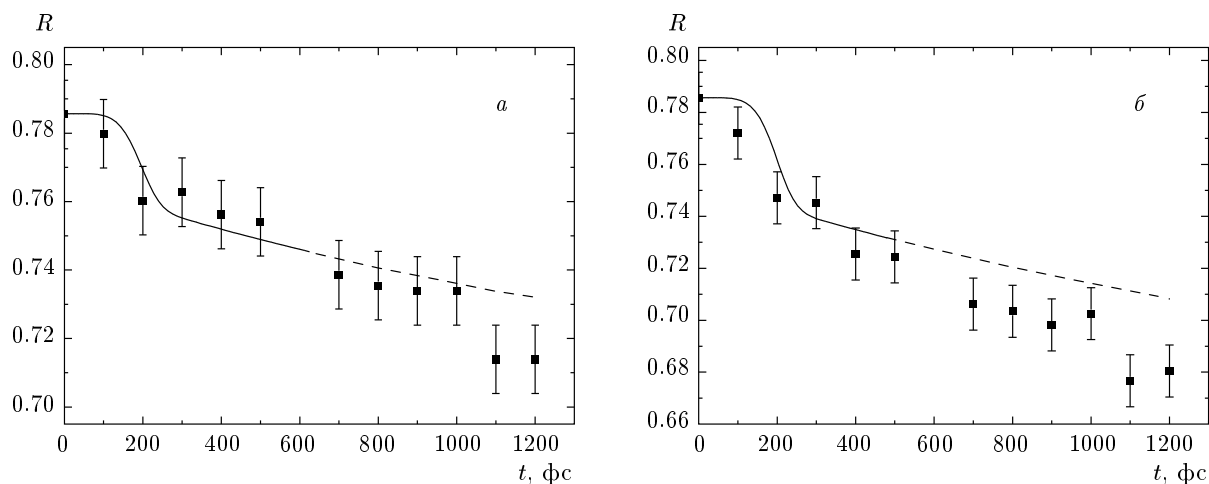


Рис. 7. Эволюция во времени коэффициента отражения при воздействии греющего импульса с $I_0 = 7.5 \cdot 10^{12}$ Вт/см² (а), 10^{13} Вт/см² (б). Квадраты с погрешностями — данные эксперимента. Кривые — результаты расчетов по формуле (27). Штрихами обозначены участки, где начинается плавление алюминия

Ричардсона–Дешмана, полученный в приближении однородной и не изменяющейся во времени температуры электронов [34, 35]. При использовании формулы Ричардсона–Дешмана полагают, что под температурой электронов можно понимать ее текущее значение на поверхности металла [6, 36, 37]. При этом основная эмиссия происходит в течение ограниченного интервала времени, когда температура электронов близка к максимальной. Не все вышедшие из металла электроны достигают детектора. Из-за формирования объемного приповерхностного заряда часть более медленных электронов сравнительно долго остается локализованной у поверхности и препятствует термоэмиссии. Согласно работе [36] при воздействии сфокусированного фемтосекундного лазерного импульса количество электронов N_{esc} , преодолевающих поле объемного заряда, определяется формулой

$$N_{esc} = \frac{\varkappa T_{max}}{ge^2} R_f \ln \left\{ 1 + \frac{ge^2}{2\pi\hbar^3} m\tau_m R_f \varkappa T_{max} \times \exp \left[-\frac{\epsilon_F - \mu(T_{max}) + e\phi}{\varkappa T_{max}} \right] \right\}, \quad (30)$$

где R_f — радиус фокального пятна, g — геометрический фактор порядка единицы, определяемый формой электронного облака у поверхности, μ — химический потенциал, $e\phi$ — работа выхода, τ_m — время, в течение которого температура электронов близка к максимальной, равной T_{max} . При достаточно больших величинах N_{esc} их число приближенно пропорционально линейному размеру фокального пятна и

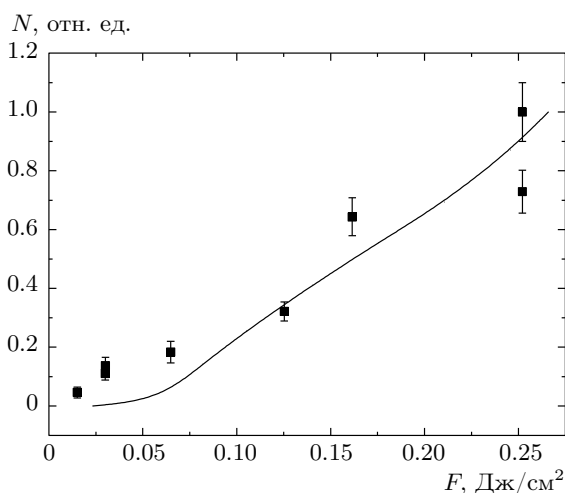


Рис. 8. Количество электронов эмиссии в зависимости от плотности энергии в импульсе. Квадраты с погрешностями — данные эксперимента

максимальному значению температуры электронов на поверхности.

На рис. 8 квадратами с погрешностями представлены результаты экспериментального измерения напряжения на входном сопротивлении осциллографа, полученные при облучении алюминия импульсом длительностью 100 фс с несущей частотой излучения $\omega = 4.7 \cdot 10^{15}$ с⁻¹ в зависимости от плотности энергии в импульсе. Сплошная кривая соответствует числу электронов термоэмиссии, вычисленному по формуле (30), где температура нахо-

дилась путем решения уравнений (18), (19). Экспериментальные значения напряжения нормированы на свое максимальное значение при плотности энергии 0.25 Дж/см^2 , а расчетные значения количества электронов — на расчетное значение при плотности энергии 0.25 Дж/см^2 , так как формула (30) выполняется тем лучше, чем выше температура электронов. При вычислениях принято, что работа выхода $e\phi = 4.1 \text{ эВ}$ [36], $\epsilon_F \approx \mu(T_{max})$ [26], радиус фокального пятна $R_f = 0.063 \text{ см}$, время τ_m близко к длительности импульса $\tau = 100 \text{ фс}$ (см. рис. 5а), а облако эмитированных электронов имеет форму тонкого диска, когда $g \approx 1.7$. Из рис. 8 видно, что при относительно больших температурах имеет место неплохое согласие теории с экспериментом. При малых плотностях потока излучения наблюдается превышение экспериментального тока эмиссии над расчетным, что, по-видимому, обусловлено возрастанием вклада в ток из-за фотоэмиссии.

7. ЗАКЛЮЧЕНИЕ

В работе представлены результаты экспериментального исследования отражения пробных фемтосекундных импульсов пленкой алюминия, нагреваемой более мощным фемтосекундным импульсом. Показано, что обнаруженное в эксперименте уменьшение интегрального коэффициента отражения в основном связано с быстрым нагревом электронов, приводящим к росту их эффективной частоты столкновений. При рассмотренных плотностях потока лазерного излучения нагрев решетки сопровождается меньшим изменением коэффициента отражения и не приводит к разрушению пленки. При последовательном решении уравнений поля в неоднородно нагреваемой пленке и уравнений для температур электронов и решетки получено приемлемое согласие результатов теоретических расчетов коэффициента отражения с данными эксперимента. На той же установке и при тех же образцах измерены потоки электронов эмиссии, возникающие при воздействии фемтосекундного импульса на пленку. Использованный в работе подход к описанию нагрева электронов в неоднородной пленке, дополненный современными представлениями о термоэмиссии электронов, позволил описать обнаруженные в эксперименте зависимости количества эмитированных электронов от плотности потока излучения.

Работа выполнена при поддержке программы Президиума РАН № 24 и РФФИ (гранты №№ 13-02-01377, 13-02-00971, 14-02-00460).

ЛИТЕРАТУРА

1. P. P. Pronko, S. K. Dutta, J. Squier et. al., *Opt. Comm.* **114**, 106 (1995).
2. F. Korte, J. Serbin, J. Koch et al., *Appl. Phys. A* **77**, 229 (2003).
3. F. Korte, J. Koch, and B. N. Chichkov, *Appl. Phys. A* **79**, 879 (2004).
4. Y. Nakata, N. Miyanaga, and T. Okada, *Appl. Surf. Sci.* **253**, 6555 (2007).
5. Ю. Н. Кульчин, О. Б. Витрик, А. А. Кучмижак и др., *ЖЭТФ* **146**, 21 (2014).
6. X. Y. Wang and M. C. Downer, *Opt. Lett.* **17**, 1450 (1992).
7. С. И. Кудряшов, В. И. Емельянов, *Письма в ЖЭТФ* **73**, 751 (2001).
8. C. Guo and A. J. Taylor, *Phys. Rev. B* **62**, R11921 (2000).
9. C. Guo, G. Rodrigues, and A. J. Taylor, *Phys. Rev. Lett.* **86**, 1638 (2001).
10. В. А. Исаков, А. П. Канавин, С. А. Урюпин, *КЭ* **36**, 928 (2006).
11. S. G. Bezhanov, A. P. Kanavin, and S. A. Uryupin, *J. Rus. Laser Res.* **31**, 554 (2010).
12. С. Г. Бежанов, А. П. Канавин, С. А. Урюпин, *Опт. и спектр.* **114**, 422 (2013).
13. X. Y. Wang, D. M. Riffe, Y. S. Lee et al., *Phys. Rev. B* **50**, 8016 (1994).
14. W. Wendelen, D. Autrique, and A. Bogaerts, *Appl. Phys. Lett.* **96**, 051121 (2010).
15. С. Г. Бежанов, А. П. Канавин, С. А. Урюпин, *КЭ* **42**, 447 (2012).
16. M. Bonn, D. N. Denzler, S. Funk et al., *Phys. Rev. B* **61**, 1101 (2000).
17. С. Г. Бежанов, А. П. Канавин, С. А. Урюпин, *КЭ* **44**, 859 (2014).
18. S. G. Bezhanov, A. P. Kanavin, and S. A. Uryupin, *Phys. Lett. A* **378**, 975 (2014).
19. A. Couairon and A. Mysrowicz, *Phys. Rep.* **441**, 47 (2007).
20. E. D. Palik (ed.), *Handbook of Optical Constants of Solids*, Acad. Press, Orlando (1998).
21. А. А. Ионин, С. И. Кудряшов, С. В. Макаров и др., *Письма в ЖЭТФ* **96**, 413 (2012).

22. L. Bruschi, M. Santini, and G. Torzo, *J. Phys. B: Atom. Mol. Phys.* **17**, 1137 (1984).
23. М. И. Каганов, И. М. Лифшиц, Л. В. Танатаров, *Атомная энергия* **6**, 391 (1959).
24. С. И. Анисимов, Б. Л. Капелиович, Т. Л. Перельман, *ЖЭТФ* **66**, 776 (1974).
25. Р. Н. Гуржи, *ЖЭТФ* **35**, 965 (1958).
26. Zh. Lin, L. V. Zhigilei, and V. Celli, *Phys. Rev. B* **77**, 075113 (2008).
27. T. Balasubramni, S. H. Kim, and S. H. Jeong, *Appl. Surf. Sci.* **255**, 9601 (2009).
28. D. Y. Smith and B. Segall, *Phys. Rev. B* **34**, 5191 (1986).
29. A. D. Rakić, *Appl. Opt.* **34**, 4755 (1995).
30. *Физическая энциклопедия*, под ред. А. М. Прохорова, Советская энциклопедия, Москва (1990).
31. Н. А. Иногамов, Ю. В. Петров, *ЖЭТФ* **137**, 509 (2010).
32. H. M. Milchberg, R. M. Freeman, S. C. Davey et al., *Phys. Rev. Lett.* **61**, 2364 (1988).
33. N. A. Inogamov, V. V. Zhakhovskii, S. I. Ashitkov et al., *Appl. Surf. Sci.* **255**, 9712 (2009).
34. O. W. Richardson, *Phil. Mag.* **23**, 594 (1912).
35. S. Dushman, *Phys. Rev.* **21**, 623 (1923).
36. D. M. Riffe, X. Y. Wang, M. C. Downer et al., *J. Opt. Soc. Amer. B* **10**, 1424 (1993).
37. G. Du, Q. Yang, F. Chen et al., *Appl. Surf. Sci.* **257**, 9177 (2011).